

# 65 基岩面条件と斜地の安定

## - 円弧すべりと複合すべり -

国土防災技術株式会社 技術本部長 申 潤植

技術本部 ○土佐信一

### 1. はじめに

単斜基岩面にのる複合すべりの取扱いは、円弧部分と直線部分のすべり面形を決定する規準に欠くため、例えばすべり面を与えて  $c'$ ,  $\phi'$  を推定する際、個人の恣意性が大いに問題となる。

そこで、半無限単純斜面における基岩面に接する臨界円弧を導いた土屋ら<sup>1)</sup>の方法に基づき、 $c'$ ,  $\phi' \neq 0$  の条件下で冠頭部と末端部が円弧、中心部が平面からなる一般複合すべりについての、最も危険なすべり面を求める式を解析的に導いた。本法によると、任意の基岩面条件のもとで、冠頭部または舌端部の基岩面深さを与えれば臨界複合すべり面がただ一つ定まる。この複合すべりと円弧すべりの安定を同一条件下で比較検討したところ、複合すべりの方がより危険であることが判明した。

### 2. 考え方

Fig. 1において、弧  $AA'$ ,  $B'B$  と、直線  $A'B'$  をすべり面とする複合すべりを考える。具体的には、直線すべり区間  $A'B'$  は、円弧  $AB$  を基岩面が切り取る部分に相当し、この方法によれば  $A'B'$  部分はどうよりも指定することができ、すべり面の円弧区間と直線区間の、斜面の安全率  $F$  に対してもつ効果を解析的に取り扱えるという利点がある。また、円弧の接線が水平面に対してなす角は、 $A'$  より  $B'$  でのそれが大きく、冠頭部で主働破壊、舌端部で受働破壊といった概念とも矛盾しない。この方法に基づく式を誘導して示す。

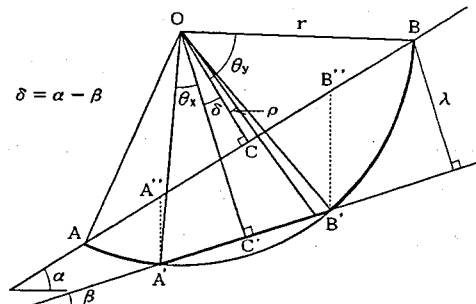


Fig. 1

#### 2. 1 式の誘導

Fig. 1において円弧  $AB$  の中心角を  $2\theta$ , 点  $O$  から基岩面に下ろした垂線と基岩面による切り取り点との狭角を  $\theta_x$ , 半径を  $r$ ,  $B$  点から基岩面に下ろした垂線長を  $\lambda$ , 円弧の中心線  $OC$  に対して成す任意の角を  $\rho$  とする。

複合すべり  $AA'C'B'A$  全体についての、接線分力の総和  $T$ , 法線分力の総和  $N$ , すべり面の全長  $L$  は,

$$\{\text{総和}\} = \{\text{円弧 } AB \text{ 全体}\} - \{\text{切り取り円弧 } A'B'\} + \{\text{直線 } A'B'\}$$

の形で求められ、それぞれ

$$T = T_1 - T_2 + T_3 \\ = \int_{-\theta_y}^{\theta_y} dW \cdot \sin(\alpha + \rho) - \int_{-(\theta_x + \delta)}^{(\theta_x + \delta)} dW \cdot \sin(\alpha + \rho) + W_s \cdot \sin \beta \quad \dots \dots (2.1)$$

$$N = N_1 - N_2 + N_s \\ = \int_{-\theta_y}^{\theta_y} dW \cdot \cos(\alpha + \rho) - \int_{-(\theta_x + \delta)}^{(\theta_x - \delta)} dW \cdot \cos(\alpha + \rho) + W_s \cdot \cos \beta \quad \dots(2.2)$$

$dW$ : すべり面に載る微少スライスの重さ,  $W_s$ : 台形 A''A'B'C' の土塊の重さ

と表すことができる.

## 2. 2 臨界すべり面の条件式

臨界すべり面の条件は基岩面条件により異なるため、これらの取扱いを簡便にすべく諸数値をできるだけ無次元化した。サフィックス0を伴うものがこれである。

なおここでは断面全体について  $r_u$  が一定の場合のみを考える。いま、 $r_u$  一定対応の修正フェレニウス式の分子分母を  $\omega r^2 / \cos \alpha$  で除し、右辺分子の  $(1 - r_u) \tan \phi'$  を外にくくり出して

$$F = \frac{c' L + (1 - r_u) \tan \phi' \cdot N}{T}$$

$$= \frac{\frac{c' \cos \alpha}{\omega (1 - r_u) \tan \phi'} \cdot \frac{L}{r^2} + N / \frac{\omega r^2}{\cos \alpha}}{T / \frac{\omega r^2}{\cos \alpha}} \dots \dots \dots (2.4)$$

ここで、無次元値  $K_0$ ,  $M_0$ ,  $N_0$ ,  $T_0$

$$M_0 = \lambda \frac{L}{r^2}, \quad M_0: \text{すべり面の規模に関する無次元値}$$

$$N_0 = N / \frac{\omega r^2}{\cos \alpha}, \quad N_0: \text{法線分力の和の無次元値}$$

$$T_0 = T / \frac{\omega r^2}{\cos \alpha}, \quad T_0: \text{接線分力の和の無次元値}$$

を導入すると、(2.4)式は

で示される。 $(1 - r_u) \tan\phi'$  = 定数であり、 $F_{umin}$  で  $F_{min}$  となることから、 $F_u$  を  $\theta_x$  または  $\theta_y$  で偏微分して  $F_{umin}$  の条件が定まる。

$$F_o' = \frac{(K_o M_o + N_o') T_o - T_o' (K_o M_o + N_o)}{T_o^2} = 0$$

ここで  $M_0'$ ,  $N_0'$ ,  $T_0'$  を

$$\frac{d}{d \theta_x} M_0 = (M_0)x, \quad \frac{d}{d \theta_y} M_0 = (M_0)y$$

のように表すものとすれば、

の2式を同時に満たす $\theta_x$ と $\theta_y$ の組が求める臨界円の解である。なお、上式を解析学的に解くことは不可能であり、本報ではNewton-Raphson近似解法によって解を得た。

### 3. 円弧すべりとの比較

与えられた  $K_0$  値から算出された  $\theta_x, \theta_y$  の組について、 $\theta_x = 0$  であれば臨界すべり面は基岩面によって切り取られない、すなわち基岩面に接する円弧すべりが最も危険となる。逆に、 $\theta_x > 0$  であれば複合すべりの方が危険ということである。

一方、複合すべりと円弧すべりの安全率Fの式を比較すると<sup>2)</sup>

$$\text{複合: } F = (1 - r_u) \tan \phi' \cdot F_0$$

$$\text{円弧: } F = (1 - r_u) \tan \phi' \cdot F_\alpha \quad \therefore F_\alpha = \frac{F + 1 + \cos 2\alpha}{\sin 2\alpha}$$

である。一般に  $(1 - r_u) \tan \phi' \neq 0$  であるから、

複合:  $F_0 \rightarrow$ 大 で  $F \rightarrow$ 大

同様に

円弧:  $F_g \rightarrow$ 大 で  $F \rightarrow$ 大

となり、 $r_u$ と $\tan \phi'$ が等しければ、同一の $K_0$ に対応する複合すべりの $F_0$ と、円弧すべりの $F_\alpha$ とを比較して、値の小さいすべりの方が危険であると論じてよい。

種々の  $\alpha$ ,  $\beta$  で計算した結果, 得られた解すべてが  $\theta_x > 0$ , かつ  $F_0 < F_\alpha$  であった. このことから, 単斜基岩面において, 同一の基岩面条件と  $K_0$ , すなわち(2.5)式のパラメータ  $\alpha$ ,  $\lambda$ ,  $c'$ ,  $\phi'$ ,  $\omega$ ,  $r_0$  が同一のもとでは, 複合すべりの方がより危険ということであり, 今後, 最危険時対応の安定問題を扱う場合には, 複合すべりについての検討が必要であることが明らかになった.

#### 4. 計算図表の作成と利用

計算結果の一例を、 $K_0$ ,  $F_0$ ,  $\theta_x$ ,  $\theta_y$ について図表にまとめて示し、利用方法を解説する。

#### 4. 1 $K_0$ 既知の場合

$r_u$ ,  $c'$ ,  $\phi'$ ,  $\lambda$ ,  $\omega$ が既知であれば(2.5)式から $K_0$ が定まる。図表を用いて、 $K_0$ を通る横軸平行線が $\theta_x - K_0$ 曲線および $\theta_y - K_0$ 曲線と交わる点の座標から $\theta_x$ ,  $\theta_y$ が、続いて $\theta_x$ を通る縦軸平行線が $\theta_y - F_0$ 曲線と交わる点の座標から $F_0$ が、それぞれ求められる。

#### 4. 2 $F_0$ 既知の場合

安全率 $F_0$ ,  $r_u$ ,  $\phi'$ 既知であれば(2.6)式から $F_0$ が定まる。この場合前節と逆の方法で、 $\theta_y - F_0$ 曲線から $F_0$ 対応の $\theta_y$ ,  $\theta_y - K_0$ 曲線および $\theta_x - K_0$ 曲線から $\theta_x$ 対応の $K_0$ および $\theta_x$ が求められる。

#### 4. 3 利用例

##### (1) 崩壊規模の推定

$\alpha = 20^\circ$ ,  $\beta = 10^\circ$ の斜面で,  $c' = 0.5 t/m^2$ ,  $\phi' = 10^\circ$ , 間隙水圧比 $r_u = 0.56$ ,  $\lambda = 4.0 m$ ,  $\omega = 1.8 t/m^3$ として、異常豪雨時の崩壊規模を推定する。

(2.5)式より $K_0 = 0.83$ , Fig. 2より $K_0 = 0.83$ 対応の $\theta_x = 21^\circ$ ,  $\theta_y = 40.5^\circ$ の複合すべりが最も危険であることがわかり、さらに $\theta_y$ 対応の $F_0 = 9.5$ を(2.6)式に代入して、この斜面の安全率 $F = 0.74$ が容易に得られる。

##### (2) $c'$ , $\phi'$ の推定

$\alpha = 20^\circ$ ,  $\beta = 10^\circ$ の斜面で,  $\lambda = 4.0 m$ , 弦長 $S = 20 m$ の複合すべりが発生した場合の $c'$ ,  $\phi'$ を推定する。ただし $\omega = 1.8 t/m^3$ とする。

弦長の式 $S = 2 r \cdot \sin \theta_y$ ,  $r = \lambda / \{\cos \theta_x - \cos(\theta_x + \delta)\}$ より、臨界複合すべりに対応する値を算出すると $\theta_x = 10.6^\circ$ ,  $\theta_y = 26.4^\circ$ ,  $r = 24.6 m$ , Fig. 2より $K_0 = 0.065$ ,  $F_0 = 3.5$ を得る。臨界時 $F = 1.0$ としてこれらを(2.5), (2.6)式に代入し、 $c' = 0.14 t/m^2$ ,  $\phi' = 32.7^\circ$ が求められる。本法では土質定数が一義的に定まり、 $c' - \tan \phi'$ 図逆算法の欠点を補うものである。

#### 5. まとめ

単斜基岩面においては、基岩面条件および $K_0$ のパラメータが等しい条件下では、 $\alpha$ ,  $\beta$ の大小と無関係に、複合すべりが円弧すべりより危険であることが判明した。また計算図表を用いることで、本法を崩壊規模の推定、逆算法を補う土質定数 $c'$ ,  $\phi'$ の推定等に容易に応用できることが示された。

#### 参考文献

- 1) 土屋智・申潤植・荻原貞夫：基岩面条件と斜地の安定、新砂防、124, pp. 19~30, 1982年
- 2) 申潤植：地すべり工学－理論と実践－、山海堂、pp. 677~719, 1989年

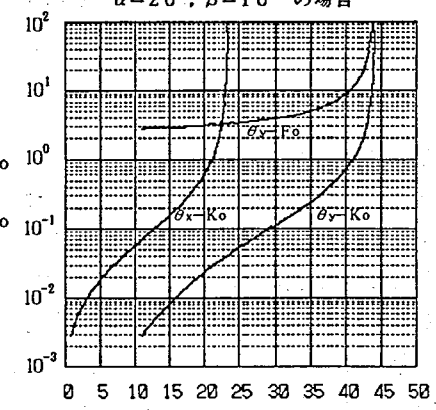


Fig. 2